

Исследование аномального
четырёх-бозонного
взаимодействия на
коллайдере CLIC

И.Р.Бойко

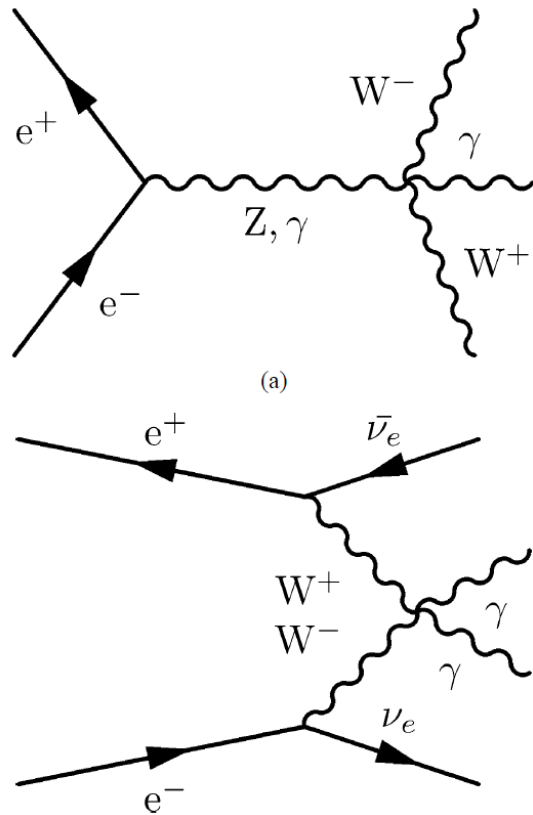
(совместно с В.Макаренко, Минск)

Мультибозонные вершины

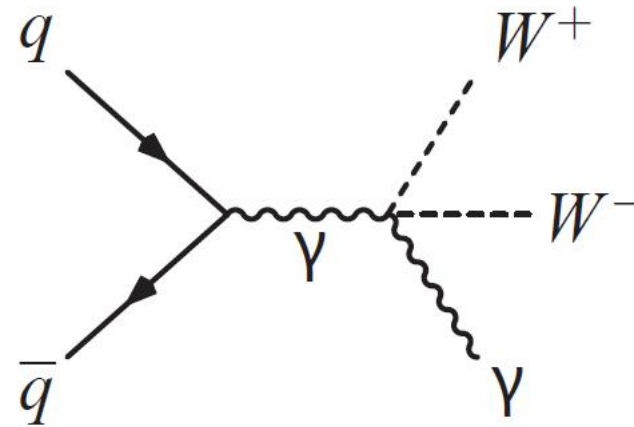
- Стандартная Модель – это неабелева теория, включающая самодействие промежуточных бозонов. Лагранжиан СМ включает вершины:
 - 3-бозонные вершины WWZ , $WW\gamma$
 - 4-бозонные $WWWW$, $WWZZ$, $WWZ\gamma$, $WW\gamma\gamma$
- Многие теории (напр. BESS) предсказывают новую физику в 4-бозонных вершинах, в то время как 3-бозонные совпадают со СМ

Вершина $WW\gamma\gamma$ на коллайдерах

Электрон-позитронные

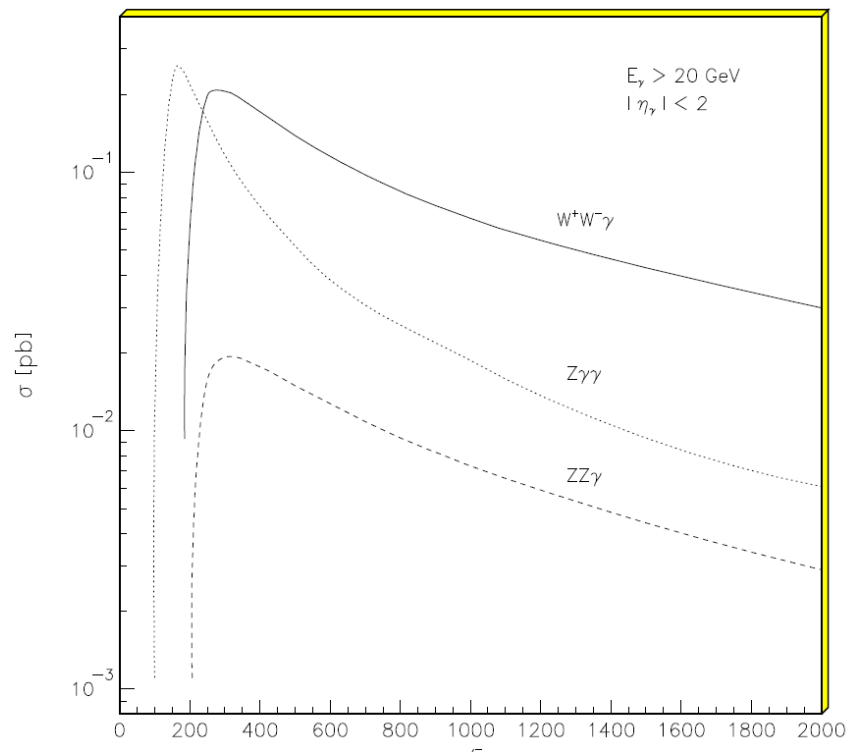


Адронные коллайдеры

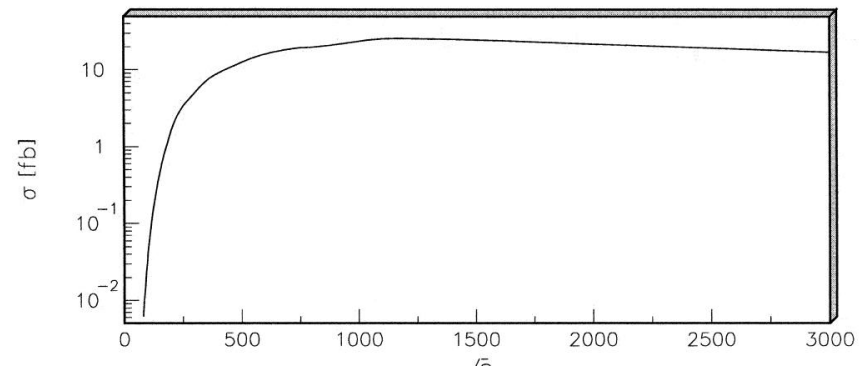


Сечения е-е-коллайдеров для вершины $WW\gamma\gamma$

$\gamma \rightarrow WW\gamma$

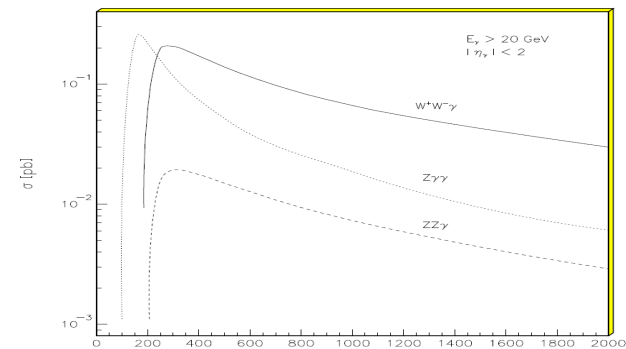
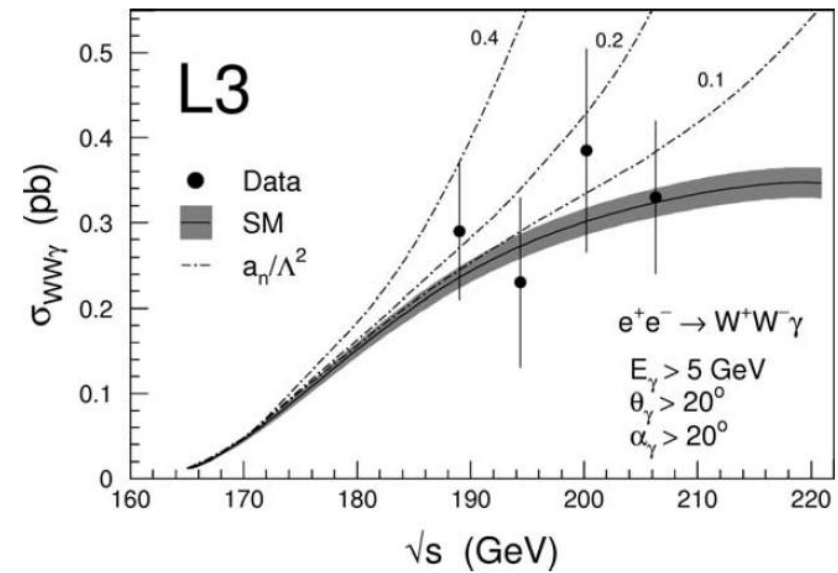
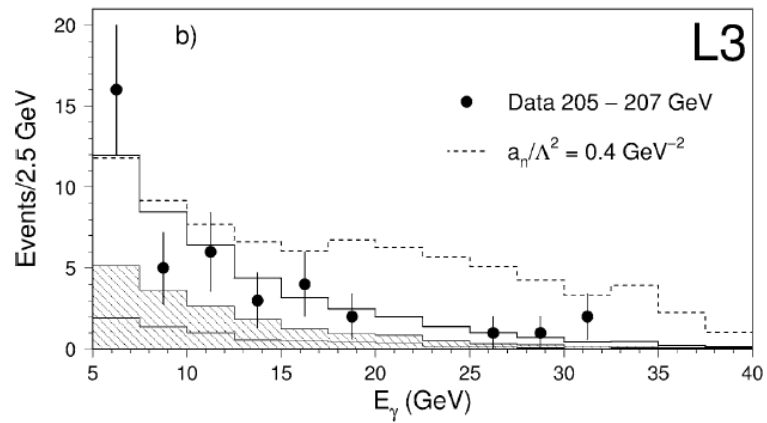
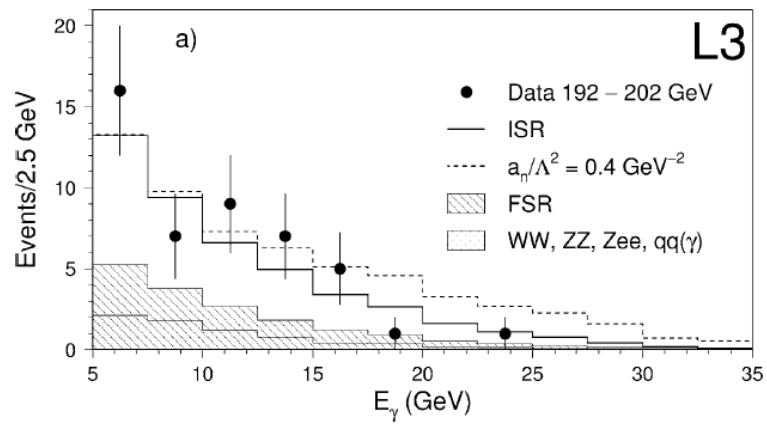


$WW \rightarrow \gamma\gamma$

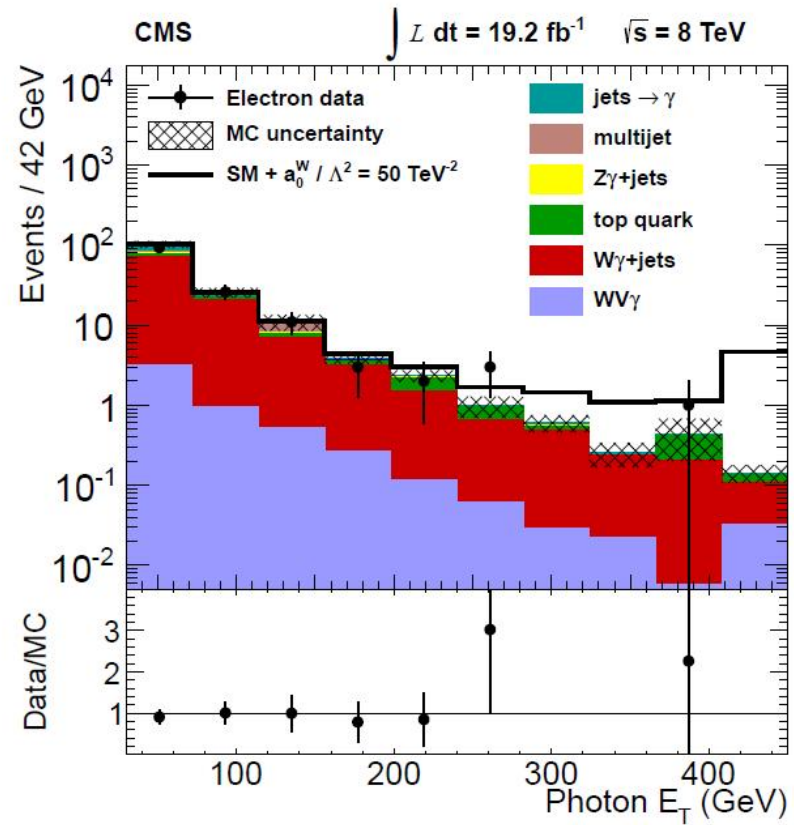
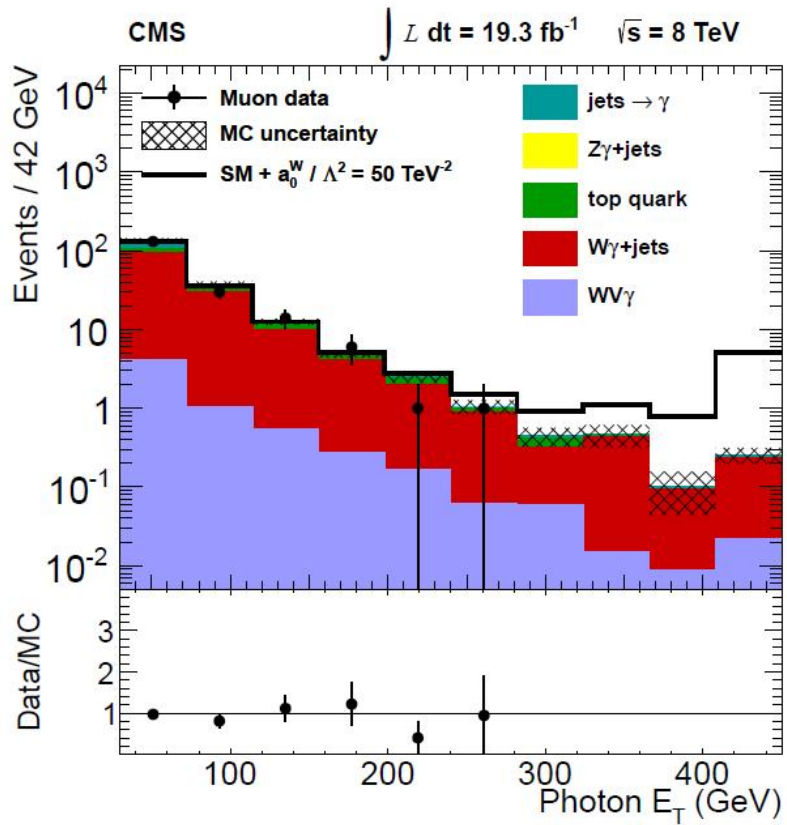


- Сечения $WW \rightarrow \gamma\gamma$ невелики (мала WW -светимость)
- Распад на $WW\gamma$ подавлен по сравнению с 2-частичными

Экспериментальные результаты на LEP

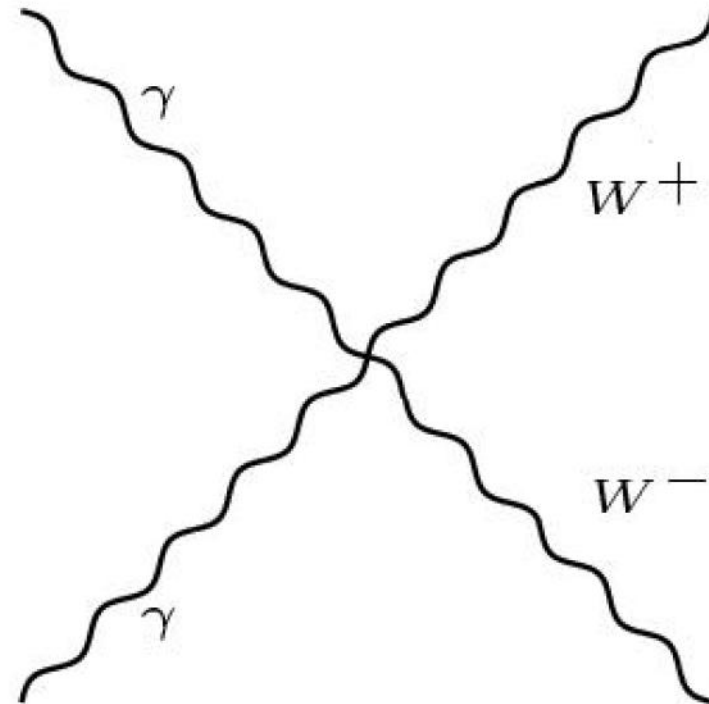


Экспериментальные результаты на LHC

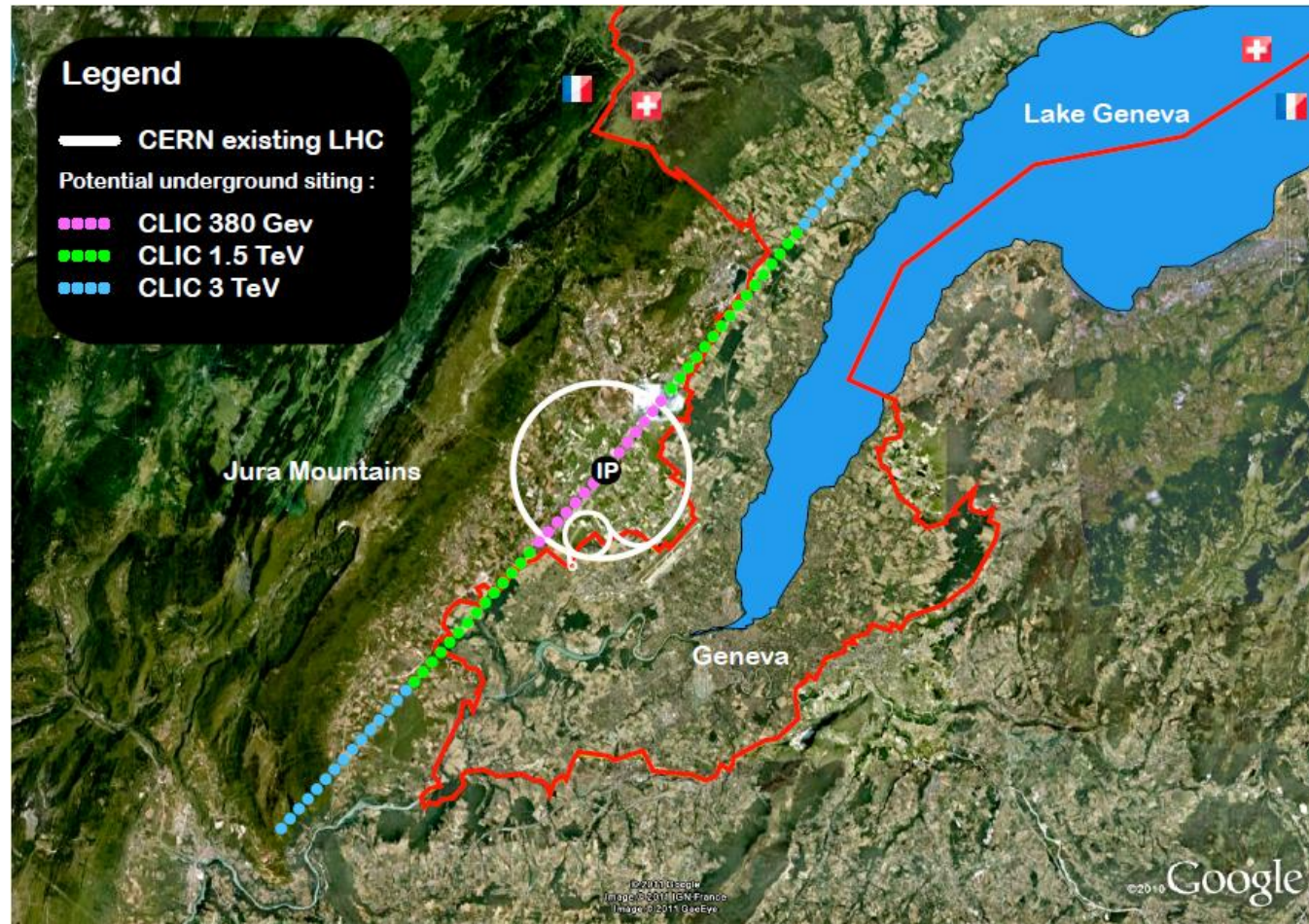


Предложение

- Предлагается изучать вершину $WW\gamma\gamma$ на коллайдере CLIC через ранее не исследованную диаграмму $\gamma\gamma \rightarrow WW$



Коллайдер CLIC



Параметры CLIC

- Энергия e^+e^- столкновений:
380 – 1400 – 3000 ГэВ
- Интегральная светимость при этих энергиях:
500 – 1500 – 3000 fb^{-1}
- Мгновенная светимость: 6×10^{34}

Альтернативные проекты e^+e^- коллайдеров

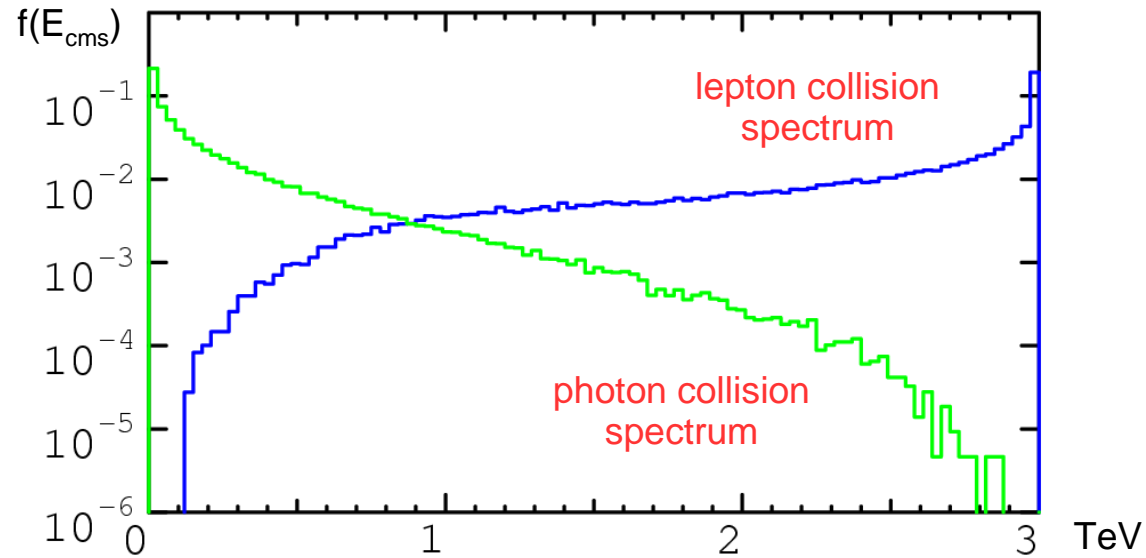
- **CEPC:** 70 km, 250 GeV, Higgs physics
- **FCC:** 100 km, 350 GeV, Higgs + Top
- **ILC:** 30 km, 500-1000 GeV, Higgs, Top, discoveries
- **CLIC:** 50 km, 3000 GeV, Higgs, Top, discoveries

Столкновения фотонов на CLIC

- При максимальных энергиях CLIC значительная (порядка половины) часть пучковых частиц излучает фотон перед точкой столкновения
- Эти фотоны сталкиваются, создавая значительный “pile-up” через реакцию $\gamma\gamma \rightarrow q\bar{q}$
- Однако столкновения жёстких фотонов можно использовать для поиска новой физики

Energy spectrum of colliding photons

CLIC is not only a lepton collider \Rightarrow



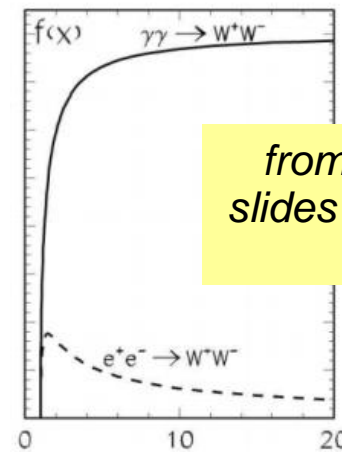
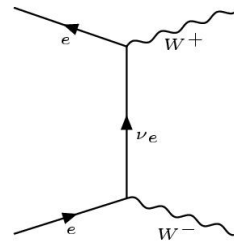
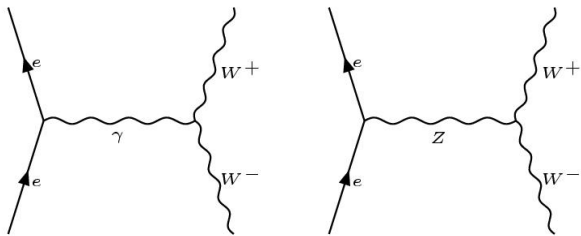
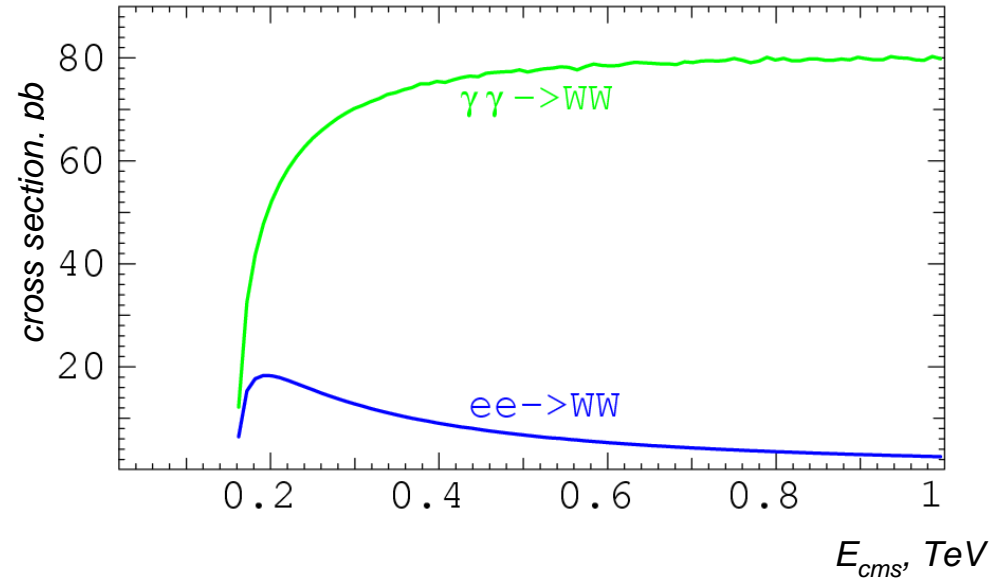
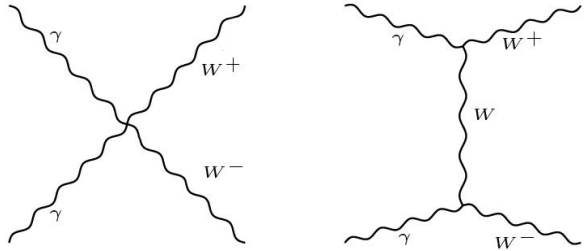
GUINEA-PIG simulation \rightarrow

For 3 TeV beams:

- $L_{e\gamma} / L_{ee} \sim 0.78$
- $L_{\gamma\gamma} / L_{ee} \sim 0.68$
- $L_{\gamma\gamma} / L_{ee} \sim 0.27$ for $E_{\gamma\gamma} > 2 M_W$

Process $\gamma\gamma \rightarrow WW$

- Cross section in photonic collisions is much higher than in leptonic



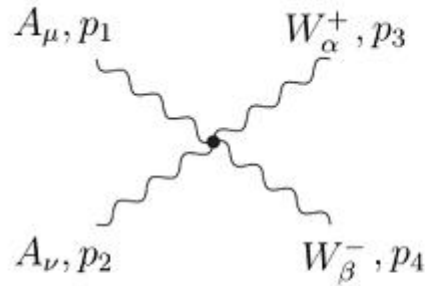
from V. Telnov
slides at LCVS'11

Possible physics in $\gamma\gamma \rightarrow WW$

- Anomalous quartic gauge boson couplings (AQGC) in AAWW-vertex:

Effective field theories can be constructed to quantify potential deviations from the SM by introducing genuine AQGC

Standard model



$$ie^2 C [2g_{\mu\nu}g_{\alpha\beta} - g_{\nu\alpha}g_{\mu\beta} - g_{\alpha\mu}g_{\nu\beta}] +$$

$$i \frac{e^2}{8\Lambda^2} \times \{ 4a_0 g^{\alpha\beta} [(p_1 p_2) g^{\mu\nu} - p_1^\nu p_2^\mu] \\ + a_c [(p_1^\alpha p_2^\beta + p_1^\beta p_2^\alpha) g^{\mu\nu} + (p_1 p_2) (g^{\mu\alpha} g^{\nu\beta} + g^{\nu\alpha} g^{\mu\beta}) \\ - p_1^\nu (p_2^\beta g^{\mu\alpha} + p_2^\alpha g^{\mu\beta}) - p_2^\mu (p_1^\beta g^{\nu\alpha} + p_1^\alpha g^{\nu\beta})] \\ + 4\tilde{a}_0 g^{\alpha\beta} p_{1\rho} p_{2\sigma} \varepsilon^{\mu\rho\nu\sigma} \}$$

$$\mathcal{L}_0 = -\frac{e^2}{16\Lambda^2} a_0 F^{\mu\nu} F_{\mu\nu} \bar{W}^\alpha \bar{W}_\alpha,$$

$$\mathcal{L}_c = -\frac{e^2}{16\Lambda^2} a_c F^{\mu\alpha} F_{\mu\beta} \bar{W}^\beta \bar{W}^\alpha,$$

$$\tilde{\mathcal{L}}_0 = -\frac{e^2}{16\Lambda^2} \tilde{a}_0 F^{\mu\alpha} \tilde{F}_{\mu\beta} \bar{W}^\beta \bar{W}^\alpha,$$

AQGC: scale factor

- Standard AQGC notation leads to violation of unitarity
- additional form-factor is introduced:

$$a_{0,C}^W(W_{\gamma\gamma}^2) = \frac{a_{0,C}^W}{\left(1 + \frac{W_{\gamma\gamma}^2}{\Lambda_{\text{cutoff}}^2}\right)^2}.$$

- Λ_{cutoff} is traditionally set to 500GeV

Latest measurements:

CMS:

JHEP 1608 (2016) 119

ATLAS:

Phys.Rev.Lett. 115 (2015) no.3, 031802
CERN-EP-2016-167

LEP-2:

Eur.Phys.J. C20 (2001) 201-215
Phys.Rev. D70 (2004) 032005

PDG review:

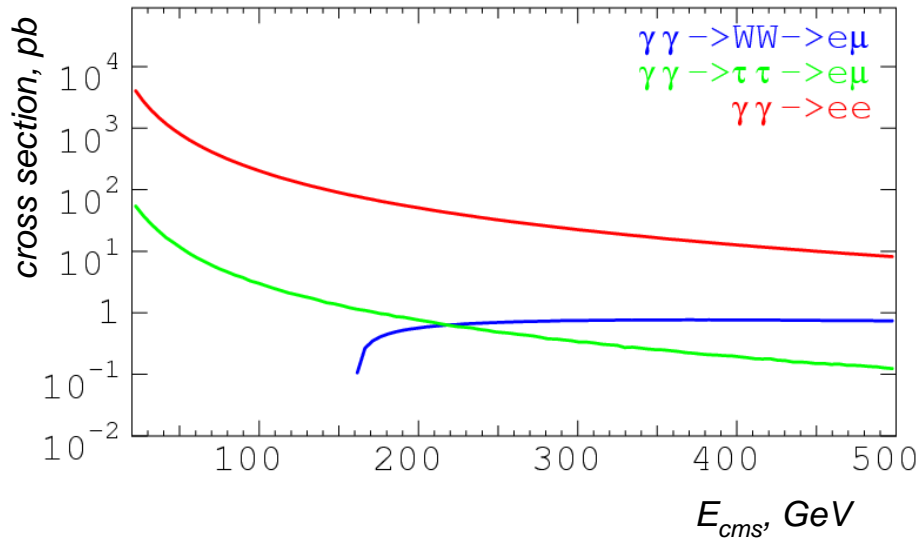
pdg.lbl.gov/2016/reviews/rpp2016-rev-wz-quartic-couplings.pdf

How to select $\gamma\gamma$ WW-vertex events

- WW hadronic decays
rate: $\sim 47\%$
 - included into $\gamma\gamma \rightarrow$ hadrons study,
 - hard to separate $\gamma\gamma$ WW vertex
 - huge background
- WW semileptonic decays
rate: $\sim 7\%$ per mode $\{e^+ + jets\}$, $\{e^- + jets\}$, $\{\mu^+ + jets\}$, $\{\mu^- + jets\}$
 - two jets with $m_{inv} \sim M_W$
 - single lepton along opposite charged beam
 - E_{miss}
 - high background
- WW leptonic decays
rate: $\sim 1\%$ per pair of $\{e^+e^-\}$, $\{e^+\mu^-\}$, $\{\mu^+e^-\}$, $\{\mu^+\mu^-\}$
 - two non-collinear leptons (incl. different flavour case)
 - no other particles in final state
 - E_{miss}

No significant background in $e^-\mu^+$ and $e^+\mu^-$ channels!

WW-decay: $WW \rightarrow ee\nu_e\nu_e$ vs. $WW \rightarrow e\mu\nu_e\nu_\mu$



Cross sections (pb) for

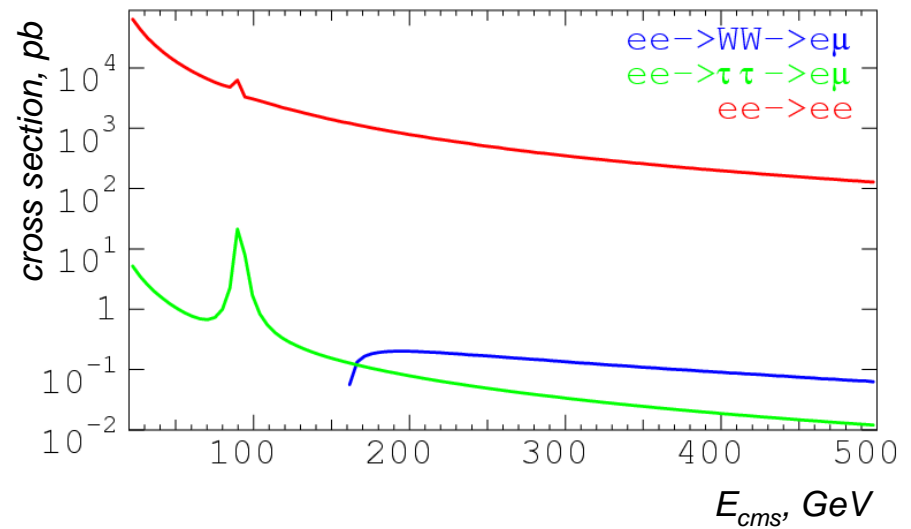
$$\gamma\gamma \rightarrow WW \rightarrow ee\nu_e\nu_e, e\mu\nu_e\nu_\mu$$

$$\gamma\gamma \rightarrow \tau\tau \rightarrow ee\nu_e\nu_e, e\mu\nu_e\nu_\mu$$

$$\gamma\gamma \rightarrow ee$$

Cuts:

e, μ polar angle cut 10°



Cross sections (pb) for

$$ee \rightarrow WW \rightarrow ee\nu_e\nu_e, e\mu\nu_e\nu_\mu$$

$$ee \rightarrow \tau\tau \rightarrow ee\nu_e\nu_e, e\mu\nu_e\nu_\mu$$

$$ee \rightarrow ee$$

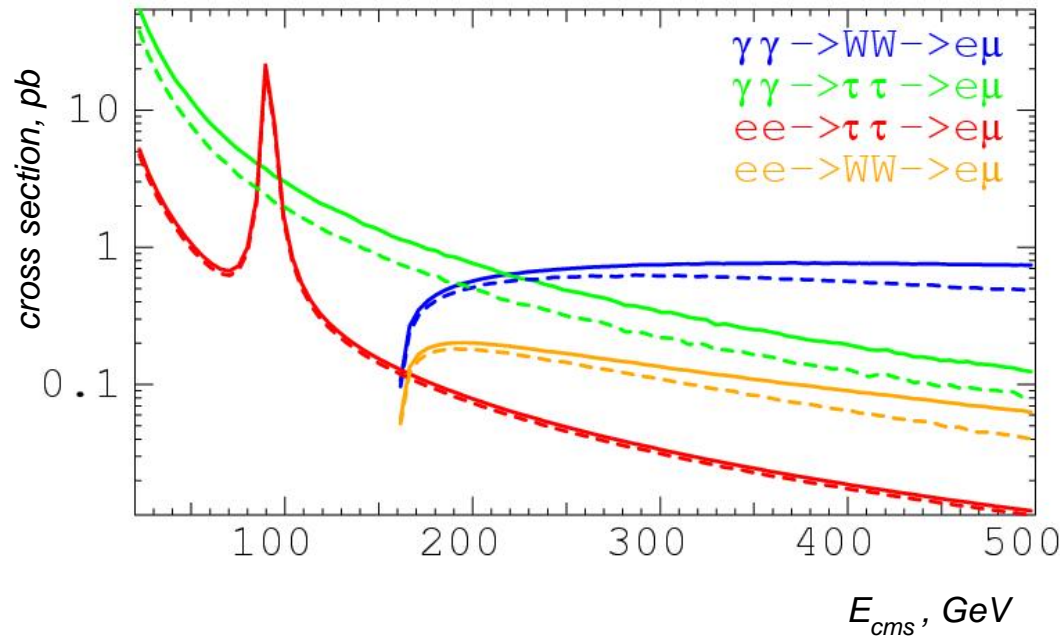
Cuts:

e, μ polar angle cut 10°

Conclusion:

due to huge background from $\{\gamma\gamma, ee \rightarrow ee\}$ we'll use study $e\mu$ channel only

$\gamma\gamma \rightarrow e\mu$ and background processes



Cross sections (pb) * BR for
 $\gamma\gamma, ee \rightarrow WW \rightarrow e\mu\nu_e\nu_\mu$
 $\gamma\gamma, ee \rightarrow \tau\tau \rightarrow e\mu\nu_e\nu_\mu$

solid lines:
 e, μ polar angle cut 10°

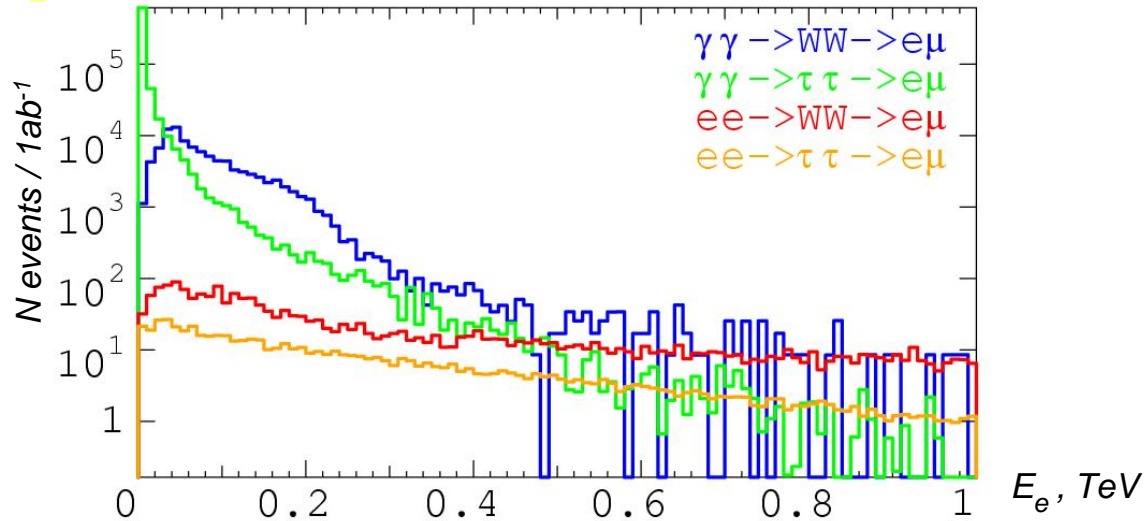
dashed lines:
 e, μ polar angle cut 20°

Signal process (SM): blue lines

We expect significant amount of signal events

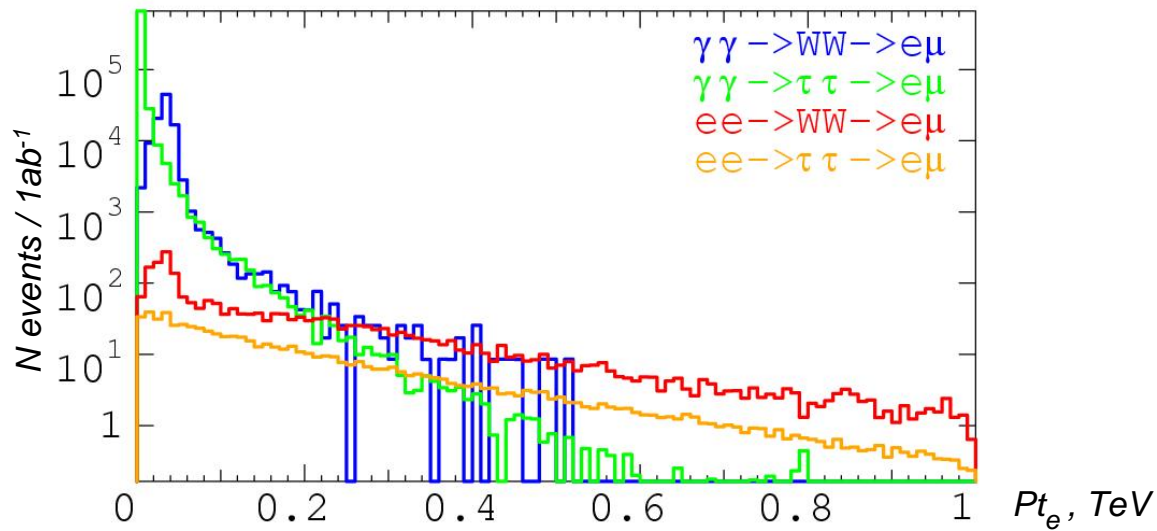
$\gamma\gamma \rightarrow e\mu$ and background processes

Next we apply beam spectrum:

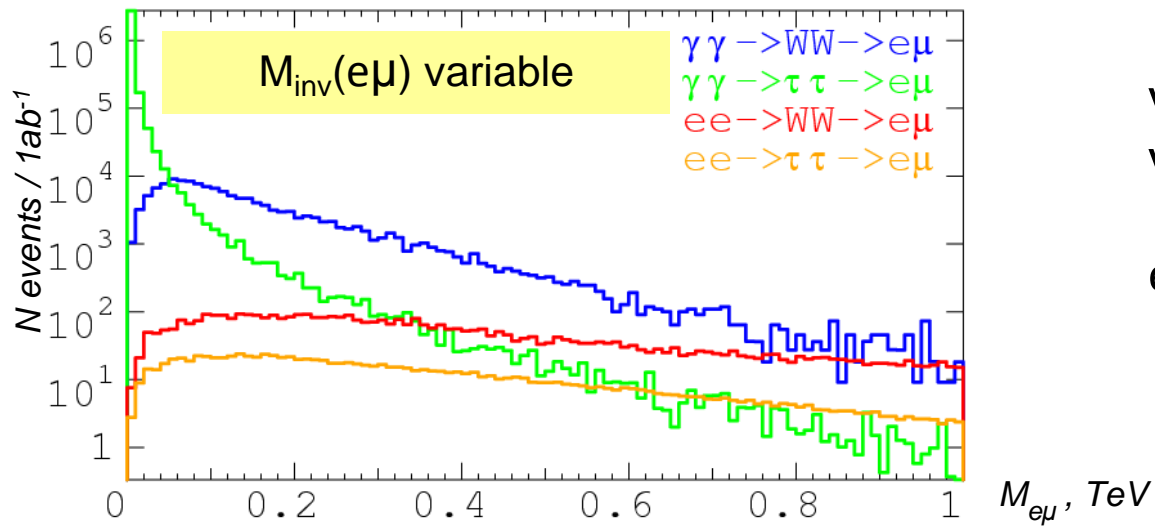


$\gamma\gamma, ee \rightarrow WW \rightarrow e\mu\nu_e\nu_\mu$
 $\gamma\gamma, ee \rightarrow \tau\tau \rightarrow e\mu\nu_e\nu_\mu$

e, μ polar angle cut: 10°



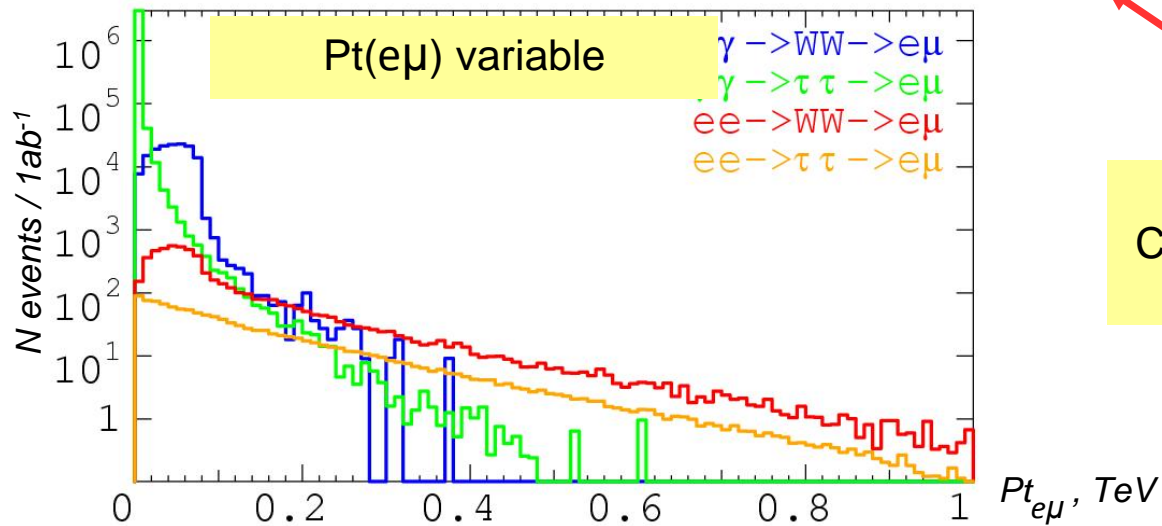
$\gamma\gamma \rightarrow e\mu$ and background processes



$\gamma\gamma, ee \rightarrow WW \rightarrow e\mu\nu_e\nu_\mu$

$\gamma\gamma, ee \rightarrow \tau\tau \rightarrow e\mu\nu_e\nu_\mu$

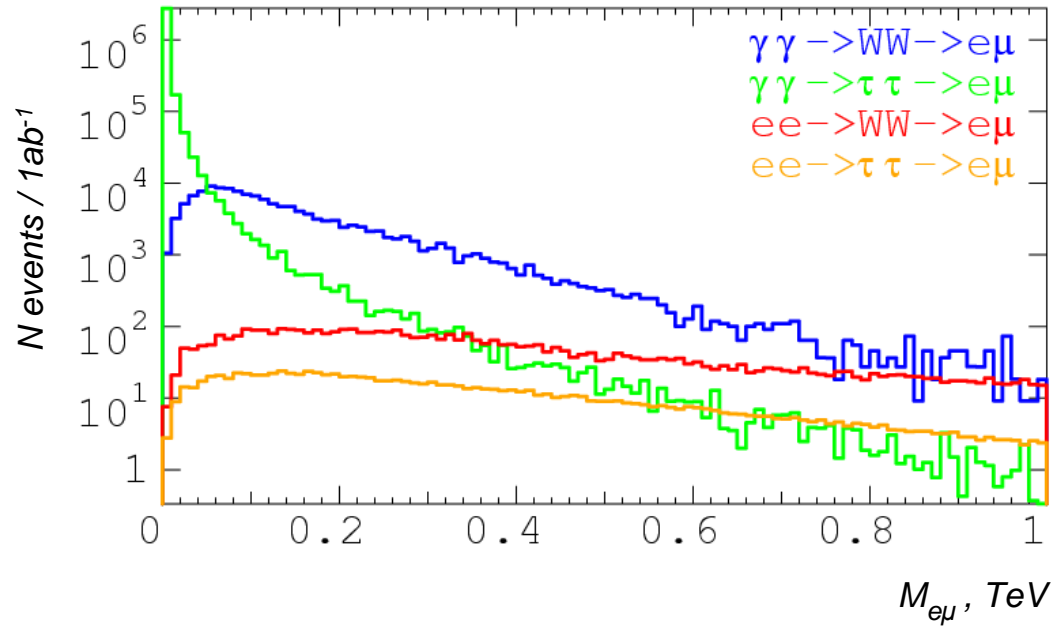
e, μ polar angle cut: 10°



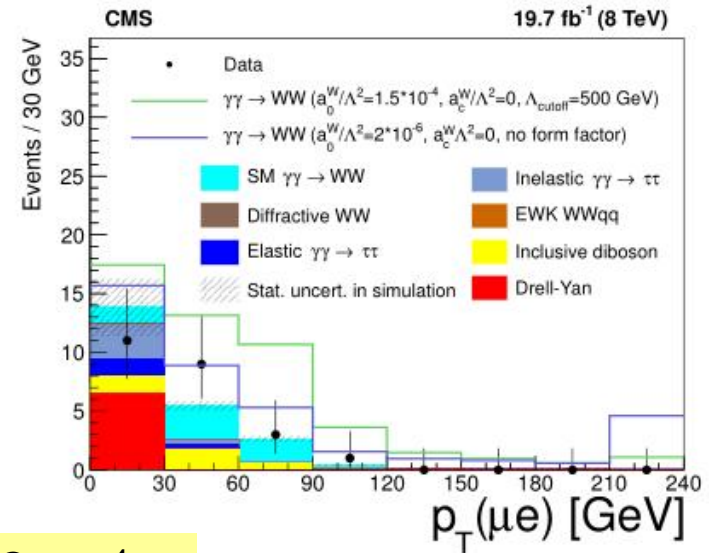
Clear signal events separation

CLIC vs. LHC

Compare events number to latest CMS results:



JHEP 1608 (2016) 119

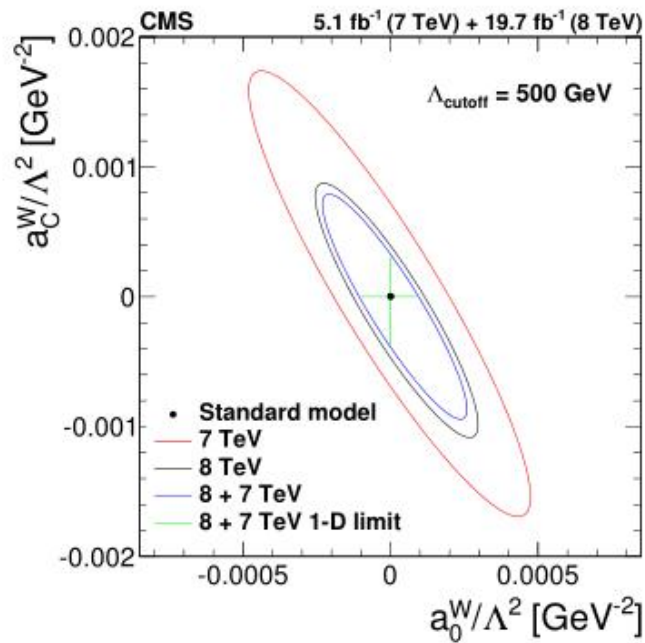


Signal events factor CLIC / LHC $\sim 10^4$

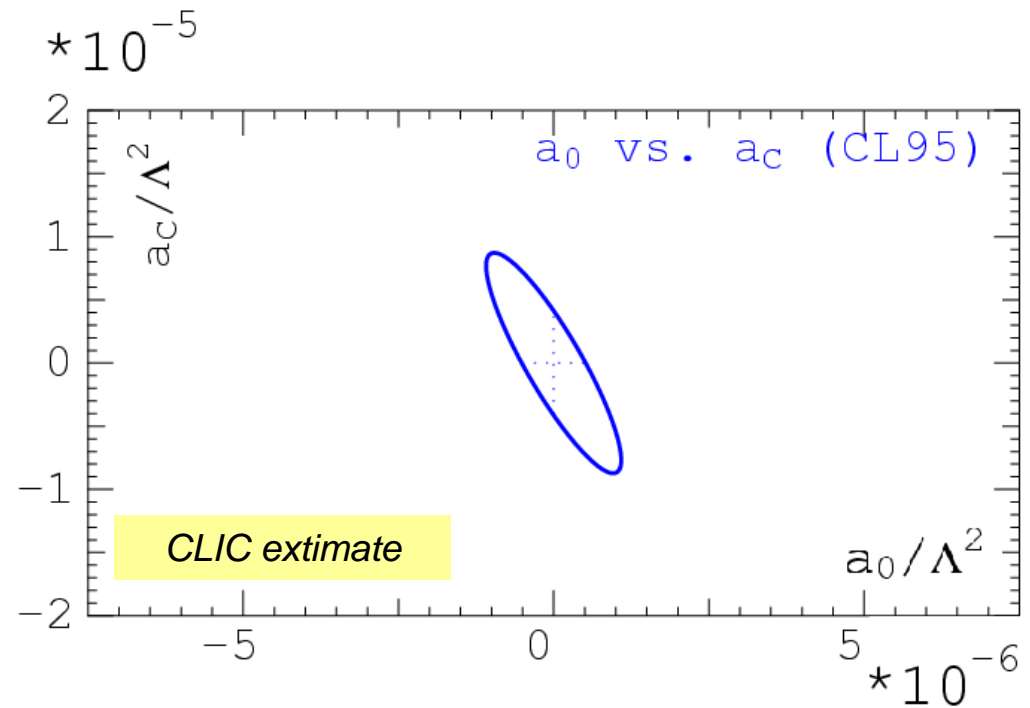
CLIC vs. LHC

- Energy scale similar to LHC study
- Signal events $\sim 10^4$ times more

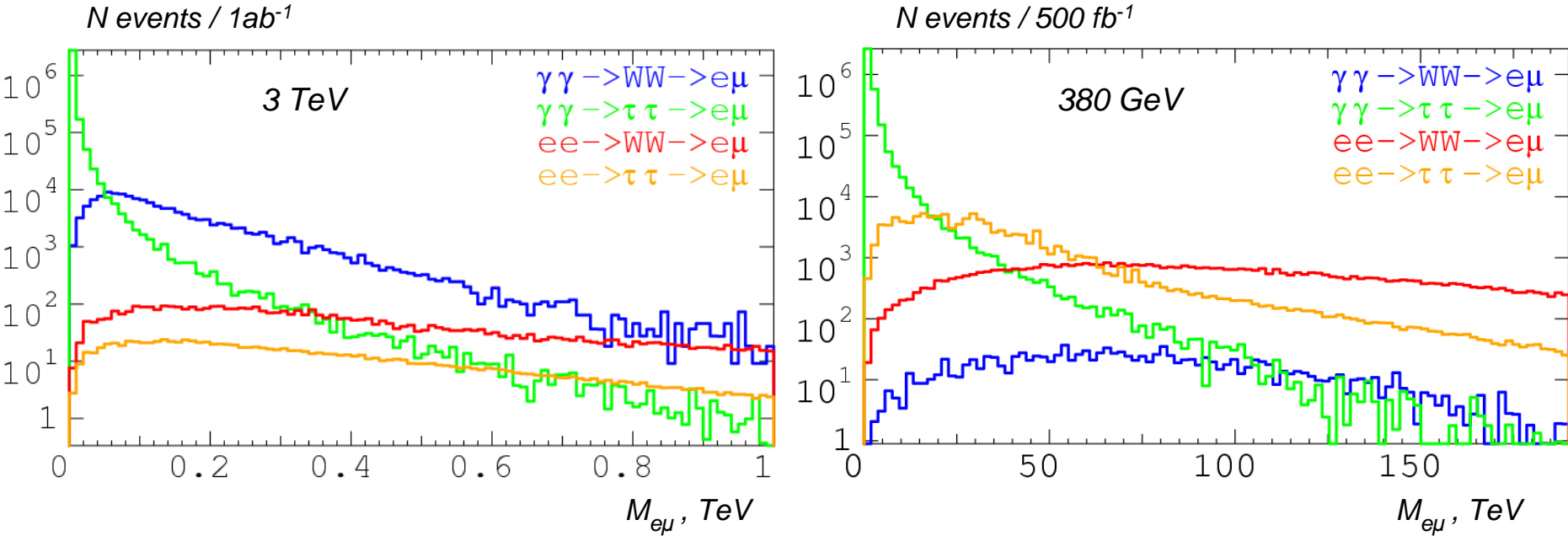
Constant	$a_0/\Lambda^2, \text{GeV}^{-2}$	$a_c/\Lambda^2, \text{GeV}^{-2}$
Previous limit (95% CL)	$-1.5 \dots +1.5 \times 10^{-4}$	$-5 \dots +5 \times 10^{-4}$
Estimated CLIC limit (95% CL)	$\sim -1 \dots +1 \times 10^{-6}$	$\sim -4 \dots +4 \times 10^{-6}$



JHEP 1608 (2016) 119



3 TeV vs. 380 GeV

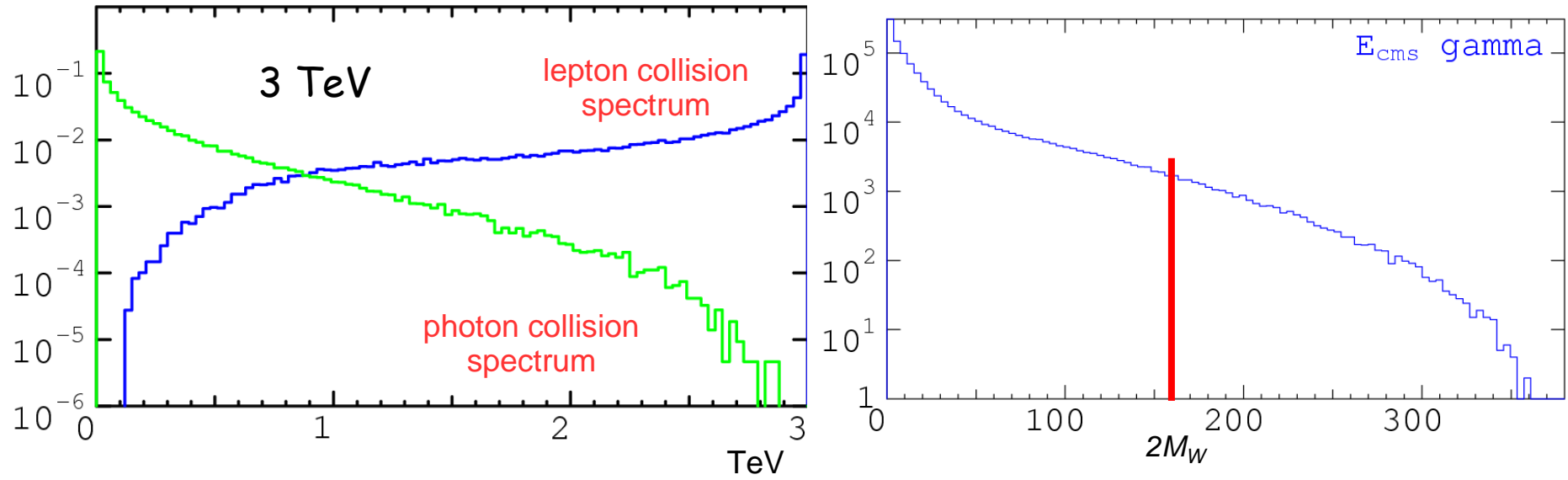


$\gamma\gamma, ee \rightarrow WW \rightarrow e\mu\nu_e\nu_\mu$
 $\gamma\gamma, ee \rightarrow \tau\tau \rightarrow e\mu\nu_e\nu_\mu$

M_{inv}(eμ) variable

e, μ polar angle cut: 10°

3 TeV vs. 380 GeV



Collision		350 GeV	0.5 TeV	1.4 TeV	3 TeV
ee	L_{ee}/L_{ee}	1.0	1.0	1.0	1.0
eg	L_{eg}/L_{ee}	0.45	0.50	0.75	0.79
ge	L_{ge}/L_{ee}	0.45	0.50	0.75	0.79
gg	L_{gg}/L_{ee}	0.23	0.31	0.64	0.69

Conclusions

- The background photon collisions may be used for search of new physics $\gamma\gamma WW$ couplings.
- The WW decay into leptons with different flavour looks promising.
- The process $\gamma\gamma \rightarrow WW \rightarrow e\mu\nu_e\nu_\mu$ provides a clear test for anomalous quartic gauge boson couplings:
 - low background
 - basic background from tau-lepton decays
 - high event number ($\sim 10^4$ factor to current to LHC data)
 - \Rightarrow significant increase is expected for previous AQGC limits
- The super-high CLIC energy is required to study this process. Energy of CEPC (250 GeV), FCC (380 GeV) and ILC (500 GeV) are insufficient!